

увеличивается от $\sim 10^{-9}$ до $\sim 10^{-2}$ с ростом периода. Владимирский [153] предложил использовать параметр η для классификации пульсаров. На гистограмме $N(\eta)$, построенной по данным для 197 пульсаров, он обнаружил два максимума и минимум при $\eta \approx 5 \cdot 10^{-6}$. На этом основании были выделены две группы пульсаров: П-пульсары с $\eta \leq 10^{-6}$ и О-пульсары с $\eta \geq 5 \cdot 10^{-5}$ ¹¹).

Оказалось, что объекты группы П имеют в среднем короткие периоды. Максимум в распределении периодов для них приходится на значение $P \sim 0,2 \div 0,3$ с. В то же время в О-пульсарах наблюдается два максимума (при $P \sim 0,4 \div 0,5$ с и $P \sim 1,2 \div 1,3$ с). Однако при использовании большего числа пульсаров минимум в распределении $N(\eta)$ исчезает и остаётся один максимум как раз вблизи $\eta = 5 \cdot 10^{-6}$ [154]. Кроме того, из определения (3) следует, что приблизительно $\eta \propto P^3$, т.е. по существу классифицирующим параметром является период P : малым η , в среднем, соответствуют малые периоды и наоборот. Отмеченное в работе [153] изменение формы импульса в О-пульсарах от простой к сложной при увеличении η отражает тот факт, что периоды у S-пульсаров, как правило, более короткие, чем у C-пульсаров.

Таким образом, различие П- и О-пульсаров обязано, в основном, различию их характерных периодов.

4. КЛАСТЕРНЫЙ АНАЛИЗ

Существуют методы формального выделения кластеров объектов по тем или иным параметрам (см., например, [155–157]).

Первые применения метода главных компонентов к пульсарам показали, что намечаются две группы пульсаров, в одной из которых преобладают источники с большими периодами [158, 159].

Используя данные каталога [16], Фракассини с соавторами [160] приняли для анализа возраст пульсара (с учётом затухания магнитного поля) t_r , расстояние объекта от оси Галактики R , скорость потери кинетической энергии вращения dE/dt и магнитное поле на поверхности B_0 . В результате для двух первых

¹¹ П-пульсары связаны с типичными плерионами, О (old)-пульсары обладают признаками старых объектов.

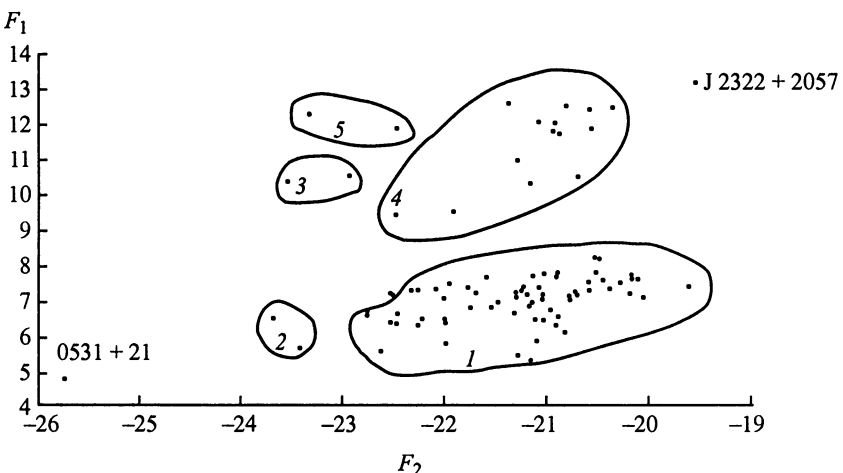


Рис. 35. Представление кластеров пульсаров на плоскости двух главных компонентов (5)

ортогональных нормализованных дискриминантных функций получены следующие выражения:

$$F_1 = -0,2350 \lg R + 0,2605 \lg (dE/dt) + 0,6203 \lg B_0 - 0,4909 \lg \tau_i, \quad (4)$$

$$F_2 = -0,2198 \lg R + 2,4254 \lg (dE/dt) + 1,8985 \lg B_0 + 2,8294 \lg \tau_i.$$

Диаграмма (F_1, F_2) проявляет наличие трёх групп пульсаров, соответствующих «ранним», «промежуточным» и «поздним» пульсарам, выделенным на диаграмме ($P, dP/dt$)¹²). Анализируя функции (4), заметим, что кроме параметра R , влияние которого связано, по-видимому, с эффектами селекции, все остальные параметры в F_1 и F_2 зависят от P и dP/dt . Поэтому представляются естественными как соответствие групп пульсаров на двух указанных диаграммах, так и близость положения «ранних» пульсаров к положению П-пульсаров Владимицкого, а положение «промежуточных» и «поздних» пульсаров к положению О-пульсаров [162]. Отметим, что одним из основных параметров опять является период пульсара P .

В работе [163] для 89 пульсаров в пространстве параметров P и dP/dt , расстояния от плоскости Галактики z , и радиосветимости

¹² В работе [161] по данным для 300 пульсаров на диаграмме ($P, dP/dt$) обнаружен «зазор», т.е. отсутствие пульсаров с $dP/dt = (8,2 + 9,3) \cdot 10^{-15}$. Авторы делают вывод о том, что нельзя объяснить эволюцию всех пульсаров единственным законом $dP/dt \propto P^{-1}$.

L обнаружено существование двух кластеров, двух неперекрывающихся популяций. В одной из них сосредоточены пульсары с $P > 1$ с, в другой с $P < 0,1$ с. Метод главных компонентов позволяет выделить два первых собственных вектора:

$$\begin{aligned} F_1 &= 0,0531 \lg |z| - 0,416 \lg P - 0,883 \lg(dP/dt) + 0,208 \lg L, \\ F_2 &= 0,210 \lg |z| - 0,199 \lg P - 0,296 \lg(dP/dt) - 0,910 \lg L. \end{aligned} \quad (5)$$

В системе координат (F_1, F_2) также хорошо видны две отмеченные выше группы (рис. 35). Таким образом, формальные методы позволяют выделить два класса пульсаров: с короткими и длинными периодами.

5. РАЗЛИЧИЕ ПУЛЬСАРОВ ПО МЕХАНИЗМАМ ЗАМЕДЛЕНИЯ

В течение всего времени исследования пульсаров считалось, что основное торможение вращения нейтронной звезды связано с потерей углового момента при магнитодипольном излучении на частоте её вращения¹³. Однако существует ряд других механизмов, приводящих к замедлению вращения нейтронной звезды: токовые потери [115], потери на излучение нейtronов, движущихся внутри нейтронной звезды [165, 166], потери через плазменный диск, расположенный около нейтронной звезды [167, 168], потери, связанные с нагревом токами и электрическими полями в верхних слоях магнитосферы [169, 170], торможение при движении нейтронной звезды через окружающую плазму [171]. Каждому из указанных механизмов будут соответствовать своя зависимость $\frac{dP}{dt}$ (P) и свой трек на диаграмме $dP/dt - P$ [172]. Сравнивая предсказания данной модели с наблюдаемым распределением точек на этой диаграмме, можно определить, какие из механизмов торможения реализуются в пульсарах. Традиционно считающееся основным магнитодипольное торможение приводит к зависимости

$$dP/dt = A/P, \quad (6)$$

¹³ У пульсаров с самыми короткими периодами заметная часть энергии может теряться на гравитационное излучение, поскольку в этом механизме скорость потерь пропорциональна Ω^6 (Ω – частота вращения нейтронной звезды) [164]. Кроме того, начальная стадия образования нейтронной звезды характеризуется значительными нейтринными потерями.